

05  
**Туннелирование СВЧ излучения через трехслойные структуры, содержащие ферритовый слой**

© С.А. Афанасьев, Д.И. Семенцов, К.В. Шарипова

Ульяновский государственный университет,  
 432970 Ульяновск, Россия  
 e-mail: asa\_gre@mail.ru

(Поступило в Редакцию 11 февраля 2018 г.)

Рассмотрено туннелирование СВЧ излучения через симметричную трехслойную структуру, в которой центральный слой феррита окружен двумя слоями материала с отрицательной диэлектрической проницаемостью. Для случая нормального падения проанализированы условия „идеального“ туннелирования, т.е. безотражательного прохождения излучения через структуру. Показано, что пропускательной способностью структуры можно управлять с помощью внешнего магнитного поля, намагничивающего феррит. В частотной области, соответствующей отрицательным значениям эффективной магнитной проницаемости феррита, возможно наличие широкой (порядка нескольких гигагерц) полосы пропускания, в которой туннелирование близко к идеальному.

DOI: 10.21883/JTF.2019.01.46966.61-18

**Введение**

Сравнительно недавно было обнаружено, что прохождение электромагнитного излучения через некоторые слоистые структуры, содержащие слои с отрицательными вещественными частями диэлектрической и/или магнитной проницаемости (ДП, МП), может быть полным, т.е. безотражательным. Этот эффект назван идеальным туннелированием (ИТ), он имеет резонансный характер, что выражается в резком возрастании при выполнении определенных условий амплитуд волновых полей на границах раздела сред [1–13]. Для наблюдения ИТ предложены разнообразные структуры со слоями, материалы которых известны как SNG (single-negative) среды. Среди них различаются  $\epsilon$ -отрицательные (или ENG) среды с  $Re \epsilon < 0, Re \mu > 0$  и  $\mu$ -отрицательные (или MNG) среды с  $Re \epsilon > 0, Re \mu < 0$ . „Обычные“ среды с  $Re \epsilon > 0$  и  $Re \mu > 0$  при этом обозначаются как DPS (double-positive).

Одиночные слои SNG сред малопрозрачны для электромагнитного излучения ввиду мнимости волновых чисел существующих в них волн. Однако многослойные структуры с SNG-слоями при выполнении определенных условий могут обеспечить ИТ. Для простейших структур с небольшим числом слоев условия ИТ могут быть получены аналитически. Так, в [7] получены и проанализированы условия ИТ для трехслойных структур четырех видов: ENG–MNG–ENG, ENG–DPS–MNG, ENG–DPS–ENG и DPS–ENG–DPS.

Основным недостатком большинства имеющихся работ по ИТ является то, что в них рассматриваются идеальные слоистые структуры без потерь. С практической точки зрения интересны реальные структуры с невысоким уровнем потерь, которые при выполнении условий ИТ обнаруживают туннелирование, близкое к идеальному. Перспективным представляется использова-

ние в качестве MNG-слоев магнитоуправляемой среды, например СВЧ феррита [14]. МП феррита в области ферромагнитного резонанса зависит от частоты и поля и может принимать отрицательные значения в околорезонансной области.

В настоящей работе исследуются особенности туннелирования при нормальном падении плоской электромагнитной волны на структуру вида ENG–MNG–ENG. В качестве MNG-слоя используется поперечно намагниченный феррит. Анализ проводится для области частоты и поля, где его эффективная МП принимает отрицательные значения. На основе численного решения уравнения, выражающего условие ИТ рассматриваемой структуры, анализируются полевые и частотные зависимости ее пропускательной способности.

**Постановка задачи**

На рис. 1 изображена схема рассматриваемой трехслойной структуры, связанная с ней система координат, компоненты статического магнитного поля и волнового поля магнитоактивной ТЕ волны. Структура занимает

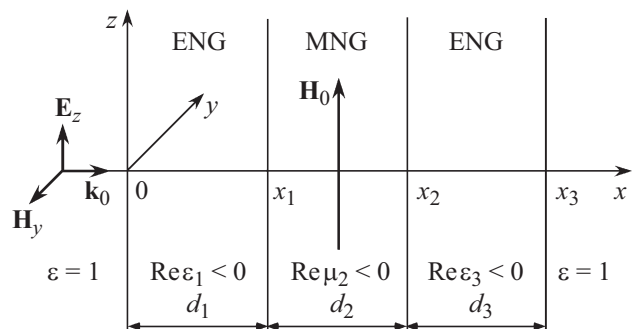


Рис. 1. Геометрия задачи.

пространственную область  $0 \leq x \leq x_3$  и расположена в вакууме (области  $x < 0$  и  $x > x_3$ ). Ее слои предполагаются бесконечно протяженными в направлениях осей  $Oy$  и  $Oz$ . ENG-слои 1 и 3 имеют одинаковую толщину и материальные параметры  $\varepsilon_1 < 0$  и  $\mu_1 > 0$ . MNG-слой 2 толщиной  $d_2$  с материальными параметрами  $\varepsilon_2$ ,  $\mu_2$  представляет собой феррит, намагниченный до насыщения вдоль оси  $Oz$  внешним магнитным полем напряженностью  $H_0$ .

Для расчетов в качестве феррита был выбран железиттриевый гранат с минимально возможными магнитными и электрическими потерями. Для него ширина линии магнитного резонанса и тангенс диэлектрических потерь составляют величины  $\Delta H = 1$  Ое,  $\text{tg } \delta = 2 \cdot 10^{-4}$  [15,16]. Высоочастотные свойства феррита характеризуются следующим тензором МП:

$$\hat{\mu} = \begin{pmatrix} \mu & -i\mu_a & 0 \\ i\mu_a & \mu & 0 \\ 0 & 0 & 1 \end{pmatrix} \quad (1)$$

$$\mu = \frac{\omega_H(\omega_M + \omega_H) - \omega^2}{\omega_H^2 - \omega^2}, \quad \mu_a = \frac{\omega\omega_M}{\omega_H^2 - \omega^2},$$

где  $\omega_H = \gamma H_0$ ,  $\omega_M = 4\pi\gamma M_0$ ,  $4\pi M_0 = 1850$  Гс — намагниченность насыщения,  $\gamma$  — гиромангнитное отношение. Учет магнитных потерь проводится с помощью замены в соотношениях (1) параметра  $\omega_H$  на  $\omega_H + i\gamma\Delta H$  [17].

Пусть из области  $x < 0$  на структуру нормально падает плоская волна с частотой  $\omega$ , электрический вектор которой линейно поляризован вдоль оси  $z$ . Для феррита заданная поляризация электрического поля соответствует ТЕ волне с компонентами поля ( $H_x$ ,  $H_y$ ,  $H_z$ ) и эффективной МП вида

$$\mu_2 = \mu_{\perp} = \mu - \mu_a^2/\mu, \quad (2)$$

имеющей резонансный характер полевой и частотной зависимостей [17]. Дальнейший анализ проводился для следующих значений поля  $H_0$  и частоты  $f = \omega/2\pi$ , отвечающих областям отрицательных значений  $\text{Re}(\mu_{\perp})$ :

— на фиксированной частоте  $f = 2$  GHz при  $H_0 < H_r$ , где  $H_r = 243$  Ое — поле ферромагнитного резонанса;

— при  $H_0 = 100$  Ое в интервале частот  $f_r < f < f_{ar}$ , где  $f_r = 2.2$  GHz и  $f_{ar} = 5.9$  GHz — значения частот резонанса и антирезонанса соответственно.

Далее будем считать, что материал ENG-слоев 1 и 3 свободен от потерь ( $\varepsilon_1$ ,  $\mu_1$  — вещественные величины). Для упрощения анализа будем полагать  $\mu_1 = 1$ .

## Анализ условия идеального туннелирования

Полученное в работе [7] условие ИТ при нормальном падении электромагнитной волны на симметричный

трехслойник вида ENG–MNG–ENG в отсутствие потерь имеет вид:

$$\tanh \varphi_2 = \frac{2|Z_1||Z_2| \cdot \sinh 2\varphi_1}{\eta(|Z_1|^2 - |Z_2|^2) + (|Z_1|^2 + |Z_2|^2) \cdot \cosh 2\varphi_1} \quad (3)$$

где введены обозначения  $\varphi_j = k_0|n_j|d_j$  ( $j = 1, 2$ ) — оптические толщины слоев,  $k_0 = \omega/c$  — волновое число в вакууме,  $c$  — скорость света в вакууме,  $|n_1| = (|\varepsilon_1|\mu_1)^{1/2}$  и  $|n_2| = (\varepsilon_2|\mu_2|)^{1/2}$  — модули комплексных показателей преломления, а  $|Z_1| = (\mu_1/|\varepsilon_1|)^{1/2}$  и  $|Z_2| = (|\mu_2|/\varepsilon_2)^{1/2}$  — модули комплексных импедансов ENG- и MNG-слоев,  $\eta = (1 - |Z_1|^2)/(1 + |Z_1|^2)$ . (Для структуры без потерь показатели преломления  $n_{1,2}$  и импедансы  $Z_{1,2}$  будут чисто мнимыми.)

Нас будут интересовать ненулевые корни  $|\mu_2|$  уравнения (3) при фиксированных значениях всех прочих входящих в него параметров. В предельных случаях оптически тонких ( $\varphi_{1,2} \ll 1$ ) и оптически толстых ( $\varphi_{1,2} \rightarrow \infty$ ) слоев приближенные значения корней можно получить аналитически.

В приближении оптически тонких слоев 1–3 уравнение (3) имеет один ненулевой корень  $|\mu_2^{(1)}|$ , равный

$$|\mu_2^{(1)}| = \mu_1(\xi/\xi_{\min} - 1), \quad (4)$$

где введен параметр  $\xi = d_1/d_2$ , равный отношению толщин ENG- и MNG-слоев, а  $\xi_{\min} = 0.5\varepsilon_2/(|\varepsilon_1| + \mu_1)$ . Видно, что корень  $|\mu_2^{(1)}|$  существует только при достаточно больших значениях параметра  $\xi > \xi_{\min}$  (при  $\xi > \varepsilon_2/2\mu_1$  он будет существовать при любом значении  $|\varepsilon_1|$ ).

Теперь рассмотрим случай оптически толстого ENG-слоя, т.е.  $\varphi_1 \rightarrow \infty$ . Тогда  $\sinh \varphi_1 \approx \cosh \varphi_1 \gg 1$  и (3) принимает вид

$$\tanh \varphi_2 \approx \frac{2|Z_1||Z_2|}{|Z_1|^2 + |Z_2|^2}. \quad (5)$$

Если предположить, что при этом MNG-слой является оптически тонким, то  $\tanh \varphi_2 \approx \varphi_2$  и можно найти корень  $|\mu_2^{(1)}|$ :

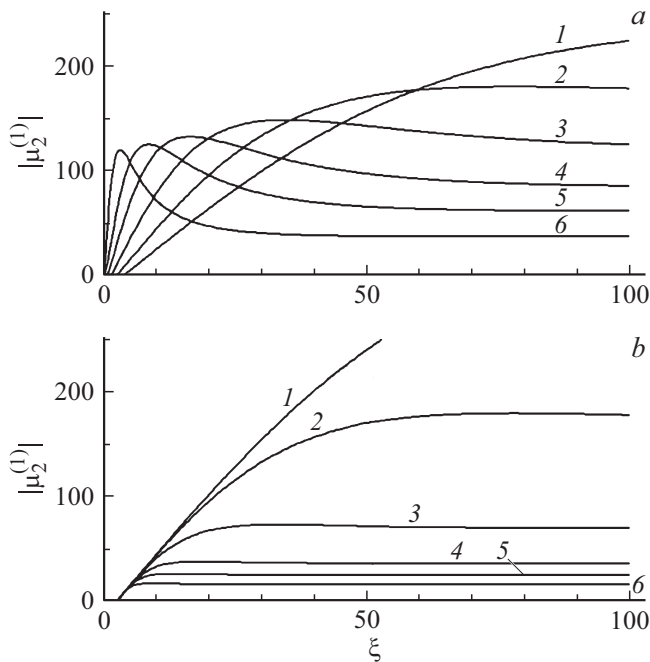
$$|\mu_2^{(1)}| = |Z_1| \left( \frac{2}{k_0 d_2} - \varepsilon_2 |Z_1| \right). \quad (6)$$

Если же слой 2 так же как и прилегающие слои 1 и 3, будет оптически толстым, то значение корня  $|\mu_2^{(1)}|$  будет стремиться к величине

$$|\mu_2^{(1)}| = (4\mu_1\varepsilon_2)/|\varepsilon_1|, \quad (7)$$

которая в отличие от предыдущего случая, не зависит от толщины слоя феррита.

На рис. 2 представлены результаты численного решения уравнения (3) для частоты  $f = 2$  GHz. Зависимости корня  $|\mu_2^{(1)}|$  от параметра  $\xi$  на рис. 2, а представлены для различных значений ДП при постоянном значении толщины MNG-слоя  $d_2 = 0.2$  mm, а на рис. 2, б —



**Рис. 2.** Зависимости корня  $|\mu_2^{(1)}|$  уравнения (3) от параметра  $\xi = d_1/d_2$  на частоте  $f = 2$  GHz: *a* —  $d_2 = 0.2$  mm,  $|\varepsilon_1| = 1, 2, 4, 8, 15, 40$  (кривые 1–6); *b* —  $|\varepsilon_1| = 2$ ,  $d_2 = 0.1, 0.2, 0.5, 1.0, 1.5, 2.5$  mm (кривые 1–6).

для различных  $d_2$  при постоянной ДП  $|\varepsilon_1| = 2$ . При малых  $\xi$ , близких к предельным значениям  $\xi_{\min}$ , слои структуры можно считать оптически тонкими, и зависимости  $|\mu_2^{(1)}|$  являются практически линейными в полном соответствии с формулой (4). Для больших  $\xi$  корень  $|\mu_2^{(1)}|$  стремится к некоторому постоянному значению. Из рис. 2, *b* видно, что эта величина уменьшается по мере роста толщины  $d_2$  (в соответствии с приближенной формулой (6)). Однако для больших толщин (кривые 5–7) эта величина стремится к некоторому предельному значению, что согласуется с формулой (7). Это говорит о том, что при соответствующих толщинах все слои структуры могут считаться оптически толстыми. При небольших толщинах среднего слоя  $d_2$  кривые зависимостей  $|\mu_2^{(1)}|(\xi)$  имеют характерный максимум, который виден на кривых 3–6 рис. 2, *a*.

Из проведенного анализа следует, что в случаях малых или больших оптических толщин  $\varphi_{1,2}$  уравнение (3) имеет лишь один ненулевой корень. Однако численный анализ показал, что имеется область „промежуточных“ значений  $\varphi_{1,2}$ , где появляется еще один ненулевой корень  $|\mu_2^{(2)}| < |\mu_2^{(1)}|$ . Значения МП ферритового слоя, соответствующие корням уравнения (3), можно подобрать, изменяя подмагничивающее поле  $H_0$  или частоту падающей волны  $f$ . При отсутствии потерь пропускательная способность структуры в этом случае достигала бы единицы. Далее приводятся результаты расчетов пропускательной способности структуры с учетом электрических и магнитных потерь в феррите.

## Расчет пропускательной способности структуры

Считая волновые поля пропорциональными временному множителю  $\exp(-i\omega t)$ , запишем выражения для  $z$ -компоненты электрического поля волн во всех пространственных областях:

$$E_z(x) = \begin{cases} \exp(ik_0x) + r \exp(-ik_0x), & x < 0 \\ a_1 \exp(ik_1x) + b_1 \exp(-ik_1x), & 0 < x < x_1, \\ a_2 \exp(ik_2x) + b_2 \exp(-ik_2x), & x_1 < x < x_2, \\ a_3 \exp(ik_1x) + b_3 \exp(-ik_1x), & x_2 < x < x_3, \\ t \exp(ik_0x), & x > x_3, \end{cases} \quad (8)$$

где  $k_j = k_0(\varepsilon_j \mu_j)^{1/2}$  ( $j = 1, 2$ ) — волновые числа в соответствующих слоях. Во всех областях с  $x < x_3$  волновые поля являются суперпозицией полей двух встречных волн. В области  $x > x_3$  существует только одна прошедшая через структуру волна. Согласно уравнениям Максвелла, поперечные компоненты магнитных волновых полей для вакуума определяются соотношениями

$$H_y^\pm = \mp E_z^\pm, \quad (9)$$

а для MNG- и ENG-слоев

$$H_y^\pm = \mp Z_j^{-1} E_z^\pm, \quad (10)$$

где  $Z_j = (\mu_j/\varepsilon_j)^{1/2}$  — импедансы соответствующих сред, верхние знаки относятся к вперед бегущим волнам, нижние — к назад бегущим.

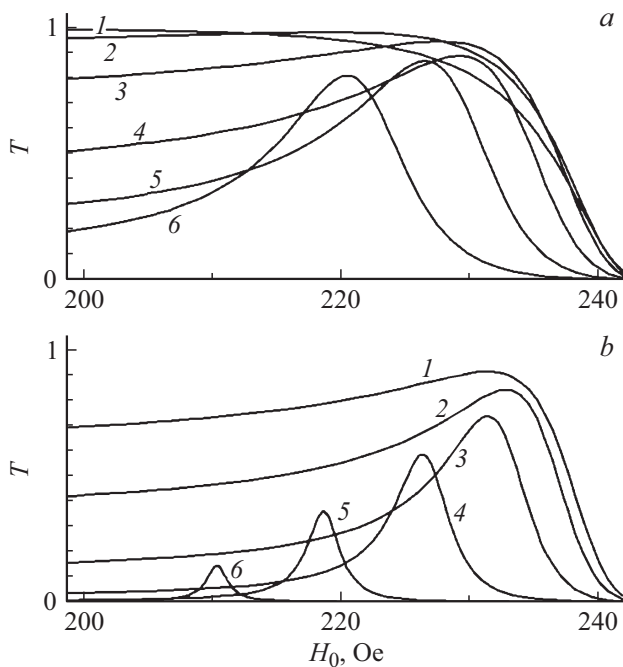
Приравнявая тангенциальные компоненты электрического и магнитного полей на границах раздела сред  $x = 0, x_1, x_2, x_3$ , получаем систему уравнений:

$$\begin{aligned} 1 + r &= a_1 + b_1, \\ Z_1(-1 + r) &= -a_1 + b_1, \\ a_1 \exp(ik_1x_1) + b_1 \exp(-ik_1x_1) &= a_2 \exp(ik_2x_1) + b_2 \exp(-ik_2x_1), \\ Z_2(-a_1 \exp(ik_1x_1) + b_1 \exp(-ik_1x_1)) &= Z_1(-a_2 \exp(ik_2x_1) + b_2 \exp(-ik_2x_1)), \\ a_2 \exp(ik_2x_2) + b_2 \exp(-ik_2x_2) &= a_3 \exp(ik_1x_2) + b_3 \exp(-ik_1x_2), \\ Z_1(-a_1 \exp(ik_2x_2) + b_1 \exp(-ik_2x_2)) &= Z_2(-a_3 \exp(ik_1x_2) + b_3 \exp(-ik_1x_2)), \\ a_3 \exp(ik_1x_3) + b_3 \exp(-ik_1x_3) &= t \exp(ik_0x_3), \\ -a_3 \exp(ik_1x_3) + b_3 \exp(-ik_1x_3) &= -Z_1 t \exp(ik_0x_3), \end{aligned} \quad (11)$$

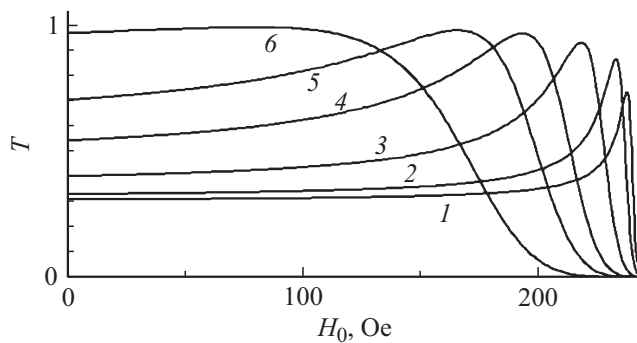
решение которой позволяет найти амплитудные коэффициенты  $a_j$ ,  $b_j$  для вперед и назад бегущих волн в каждом слое, а также амплитудные коэффициенты отражения  $r$  и прохождения  $t$ . Пропускательная способность, т.е. энергетический коэффициент прохождения для структуры, расположенной между двумя одинаковыми средами, может быть найден далее как  $T = |t|^2$ .

## Численный анализ

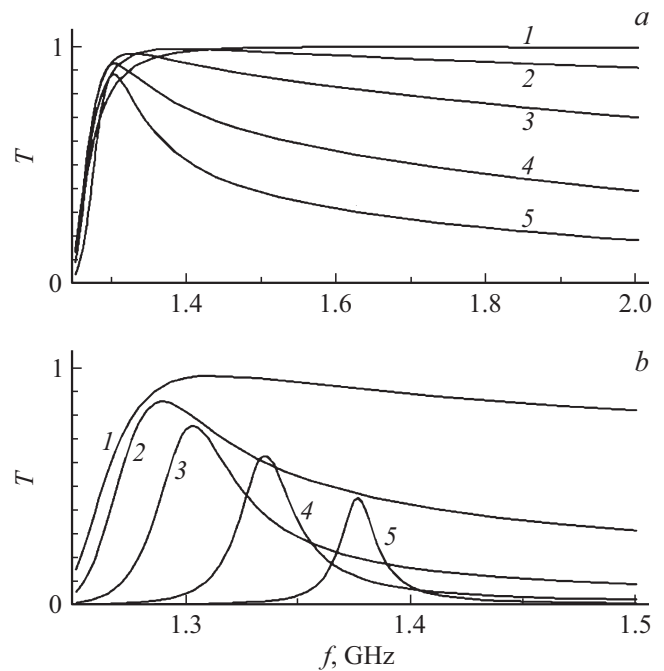
Ввиду сложности системы (11) ее решение проводилось численными методами. Вначале рассмотрим полевые зависимости пропускательной способности структуры  $T$  на фиксированной частоте  $f = 2$  GHz в до-



**Рис. 3.** Полевые зависимости пропускательной способности структуры при  $f = 2$  GHz и  $d_2 = 0.2$  mm: *a* —  $\xi = 10$ ,  $|\epsilon_1| = 1, 4, 8, 15, 25, 40$  (кривые 1–6); *b* —  $\xi = 50$ ,  $|\epsilon_1| = 1, 2, 4, 8, 15, 25$  (кривые 1–6).



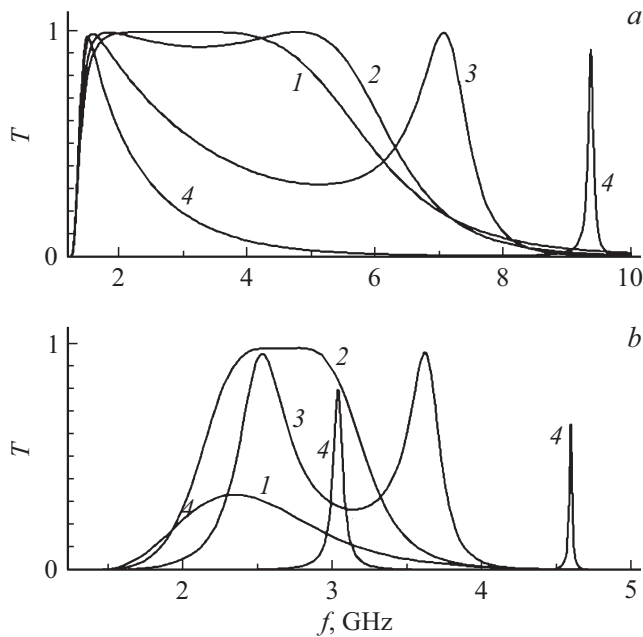
**Рис. 4.** Полевые зависимости пропускательной способности структуры при  $f = 2$  GHz и  $d_1 = 10$  mm,  $|\epsilon_1| = 2$ ,  $d_2 = 0.1, 0.2, 0.5, 1.0, 1.5, 2.5$  mm (кривые 1–6).



**Рис. 5.** Частотные зависимости пропускательной способности структуры при  $H_0 = 100$  Oe,  $d_2 = 0.2$  mm,  $\xi = 10$  (*a*) и  $50$  (*b*),  $|\epsilon_1| = 1, 4, 8, 15, 25$  (кривые 1–5).

резонансной области полей, где  $\text{Re} \mu_2 < 0$ . На рис. 3 представлены зависимости  $T(H_0)$  для фиксированного значения толщины  $d_2 = 0.2$  mm, значений параметра  $\xi = 10, 50$  (*a, b*) и различных значений ДП ENG-слоя  $|\epsilon_1|$ . Наблюдаемые пики пропускания становятся более ярко выраженными по мере увеличения оптических толщин слоев структуры. Пики при этом несимметричны: слева от пика величина  $T$  слабо зависит от поля, а справа более резко падает вследствие приближения к резонансу. Ввиду наличия максимумов у кривых  $|\mu_2^{(1)}(\xi)$  значения  $\text{Re} \mu_2$ , дающие максимум пропускания, ограничены сверху. Поэтому по мере увеличения параметра  $|\epsilon_1|$  максимум пропускания сначала приближается к резонансному значению поля, а затем начинает удаляться от него. Заметим, что с увеличением  $|\epsilon_1|$ , т.е. с ростом оптической толщины ENG-слоев  $\varphi_1$  „пиковая“ величина пропускания  $T_{\text{max}}$  уменьшается (даже когда пик удаляется от резонанса).

Следовательно, для получения высоких значений  $T$  пики пропускания должны располагаться как можно дальше от резонансного поля  $H_r$ , т.е. при относительно малых абсолютных значениях  $\text{Re} \mu_2$ . При этом электрическая толщина слоев не должна быть слишком высокой. Эти условия могут быть выполнены в области малых оптических толщин, т.е. при значениях параметра  $\xi$ , близких к  $\xi_{\text{min}}$ . Соответствующего уменьшения  $\xi$  можно добиться, например, увеличением толщины слоя феррита  $d_2$ . На рис. 4 представлены зависимости  $T(H_0)$  при фиксированных параметрах ENG-слоев  $d_1 = 10$  mm и  $|\epsilon_1| = 2$  и различных значениях толщины феррита  $d_2$ .



**Рис. 6.** Частотные зависимости пропускательной способности структуры при  $H_0 = 100$  Ое и  $d_1 = 10$  мм: *a* —  $d_2 = 1$  мм,  $|\varepsilon_1| = 0.15, 0.5, 1.25, 2.25$  (кривые 1–4); *b* —  $d_2 = 5$  мм,  $|\varepsilon_1| = 2.0, 3.8, 5.5, 10.0$  (кривые 1–4).

Видно, что с увеличением  $d_2$  пики пропускания смещаются в сторону уменьшения поля  $H_0$ , а их высота при этом увеличивается. При  $\xi \approx \xi_{\min}$  (кривая *b*) достигается „почти идеальное“ туннелирование в широкой области полей шириной примерно 100 Ое. Однако при дальнейшем увеличении  $d_2$  условие (3) перестает выполняться и пропускание в исследуемой области полей существенно уменьшается, становясь постепенно сравнимым с пропусканием одиночного слоя феррита.

Частотные зависимости пропускательной способности исследовались при фиксированном значении поля  $H_0 = 100$  Ое. На рис. 5 представлены зависимости  $T(f)$  при сравнительно небольшом значении толщины феррита  $d_2 = 0.2$  мм для двух значений параметра  $\xi = 10, 50$  (*a, b*) и различных значений  $|\varepsilon_1|$ . Особенности данных частотных зависимостей аналогичны представленным выше полевым зависимостям для структур с совпадающими параметрами (см. рис. 3). В частности, видно, что максимумы частотных зависимостей сгруппированы вблизи резонансной частоты.

На рис. 6 представлены частотные зависимости коэффициента пропускания  $T(f)$  для структуры с  $d_1 = 10$  мм и  $d_2 = 1, 5$  мм (*a, b*), полученные при различных значениях  $|\varepsilon_1|$ . В случае более тонкого MNG-слоя при значении  $|\varepsilon_1| \approx 0.15$  (кривая 1) частотная зависимость пропускания имеет широкое „плато“ с практически постоянной величиной  $T = 0.99$ , перекрывающее почти всю частотную область между резонансом и антирезонансом. Причина этого заключается в существовании при данной комбинации параметров

двух корней уравнения (3). Плато образуется между двумя пиками пропускания, отвечающими корням  $|\mu_2^{(1)}|$  и  $|\mu_2^{(2)}|$ , если они располагаются на достаточно близких частотах. По мере увеличения  $|\varepsilon_1|$  пики все более четко разделяются (кривые 2–4). Пик, соответствующий корню  $|\mu_2^{(1)}|$ , смещается слабо в сторону частоты  $f$ , а пик, соответствующий меньшему корню  $|\mu_2^{(2)}|$ , удаляется от резонанса и в итоге выходит за пределы области отрицательных значений  $\text{Re } \mu_2$ . При  $f > f_{ar} = 5.9$  GHz  $\text{Re } \mu_2 > 0$  и исследуемый трехслойник представляет собой уже ENG–DPS–ENG-структуру. Аналогичные зависимости для структуры с большим значением толщины MNG-слоя показывают, что полоса пропускания (реализуемая при  $|\varepsilon_1| \approx 3.8$ ) является более узкой, а ее левый край смещен от резонанса в сторону частоты  $f_{ar}$ .

В заключение отметим, что пропускательная способность исследуемой структуры легко управляема внешним магнитным полем. Так, с увеличением внешнего поля полоса пропускания структуры смещается по частоте в сторону ее увеличения, а ширина полосы уменьшается. При этом характер зависимостей, реализуемых при различных значениях толщины слоев и параметра  $|\varepsilon_1|$ , сохраняется с изменением подмагничивающего поля.

Работа выполнена при поддержке Министерства образования и науки РФ (государственное задание № 3.6825.2017 / БЧ и проект № 14.Z50.31.0015).

## Список литературы

- [1] Alù A., Engheta N. // IEEE Trans. on Antennas and Propag. 2003. Vol. 51. N 10. P. 2558–2571.
- [2] Baena J.D., Jelinek L., Marqués R., Medina F. // Phys. Rev. E. 2003. Vol. 72. N 7. P. 075116.
- [3] Zhou L., Wen W., Chan C.T., Sheng P. // Phys. Rev. Lett. 2005. Vol. 94. N 24. P. 243905.
- [4] Marqués R., Martín F., Sorolla M. Metamaterials with negative parameters: theory, design, and microwave applications. NY: John Wiley & Sons, Inc., 2008. 309 p.
- [5] Kim K.-Y., Lee B. // Phys. Rev. A. 2008. Vol. 77. N 2. P. 023822.
- [6] Jelinek L., Baena J.D., Voves J., Marques R. // New J. Phys. 2011. Vol. 13. N 8. P. 083011.
- [7] Cojocar E. // Prog. Electromagn. Res. 2011. Vol. 113. P. 227–249.
- [8] Zheng J., Chen Y., Chen Z., Wang X., Han P., Yong Z., Wang Y., Leung C.W., Soukoulis C.M. // Opt. Express. 2013. Vol. 21. N 14. P. 16742–16752.
- [9] Castaldi G., Galdi V., Alù A., Engheta N. // J. Opt. Soc. Am. B. 2011. Vol. 28. N 10. P. 2362–2368.
- [10] Liu C.-H., Behdad N. // Prog. Electromagn. Res. B. 2012. Vol. 42. P. 1–22.
- [11] Sabah C., Tugrul Tastan H., Dincer F., Delihacioglu K., Karaaslan M., Unal E. // Prog. Electromagn. Res. 2013. Vol. 138. P. 293–306.
- [12] Chen Y., Huang S., Yan X., Shi J. // Chinese Opt. Lett. 2014. Vol. 12. N 10. P. 101601.

- [13] *Afanas'ev S.A., Sementsov D.I., Yakimov Y.V.* // Opt. Comm. 2016. Vol. 369. P. 164–170.
- [14] *Афанасьев С.А., Семенов Д.И., Фёдорова И.В.* // ЖТФ. 2017. Т. 87. Вып. 12. С. 1849–1853. [*Afanas'ev S.A., Sementsov D.I., Fedorova I.V.* // Tech. Phys. 2017. Vol. 62. N 12. P. 1848–1852.]
- [15] *Яковлев Ю.М., Генделев С.Ш.* Монокристаллы ферритов в радиоэлектронике. М.: Сов. радио, 1975. 232 с.
- [16] *Крупичка С.* Физика ферритов и родственных им магнитных окислов. Т. 2 / Пер. с нем. под ред. А.С. Пахомова. М.: Мир, 1976. 504 с.
- [17] *Гуревич А.Г., Мелков Г.А.* Магнитные колебания и волны. М.: Физматлит, 1994. 464 с.